



Research Article

Vol. 37, No. 4, 2024, p. 381-398

Evaluation The Sub-Inhibitory Concentrations of Some Plant Essential Oils on Investigating Factors of *Pseudomonas syringae* pv. *syringae*

S. Ghorbanpour-Yadaki¹, S. Baghaee-Ravari^{2*}, M. Moghaddam³, P. Khodaygan⁴

1 and 2- MS.C. Graduated and Associate Professor in Plant Pathology, Department of Plant Protection, Ferdowsi University of Mashhad, Mashhad, Iran, respectively.

(*- Corresponding Author Email: s.baghaee@um.ac.ir)

3- Associate Professor, Department of Horticultural Science, Faculty of Agriculture, Ferdowsi University of Mashhad, Mashhad, Iran

4- Associate Professor, Department of Crop Protection, Faculty of Agriculture, Vali-Asr University, Rafsanjan, Iran

Received: 04-04-2023

Revised: 26-09-2023

Accepted: 30-09-2023

Available Online: 30-09-2023

How to cite this article:

Ghorbanpour-Yadaki, S., Baghaee-Ravari, S., Moghaddam, M. & Khodaygan, P. (2024). Evaluation the sub-inhibitory concentrations of some plant essential oils on virulence factors of *Pseudomonas syringae* pv. *syringae*. *Journal of Iranian Plant Protection Research*, 37(4), 381-398. (In Persian with English abstract). <https://doi.org/10.22067/jpp.2023.81813.1141>

Introduction

One of the important bacterial diseases of stone-fruit trees is canker caused by *Pseudomonas syringae* pv. *syringae* (Pss). This pathogen employs a vast range of pathogenic and virulence factors during its interaction with its host in order to induce disease symptoms. To control the bacterial canker disease, various methods such as sanitary measures, selection of resistant cultivars and certified seedlings and chemical component based on copper are used. Application of plant derivatives such as essential oils and extracts, is one of the compatible management methods in line with environmental goals. Essential oils include a wide range of antimicrobial components and have high efficacy, multiple mechanisms of action, and low toxicity on non-target organisms. The current study aimed to assess the inhibitory and sub-inhibitory effects of six indigenous medicinal essential oils against the causative agent of canker disease in stone fruits. The research evaluated the efficacy of these essential oils in reducing the virulence factors of the disease while identifying the active compounds within the oils.

Material and Methods

The antimicrobial properties of six native plant EOs, namely *Thymus transcaspicus*, *Satureja khuzistanica*, *Mentha longifolia*, *Ziziphora clinopodioides*, *Perorkia abrotanoides*, and *Artemisia persica* were evaluated against Pss bacteria based on disc diffusion assay test and measurement of minimum inhibitory concentration (MIC) and minimum bactericidal concentration (MBC). Moreover, the effect of essential oils on some virulence factors of pathogen including motility, biofilm, and syringomycine production was investigated in sub-inhibitory concentrations. The effect of selected EOs on the reduction of bacterial pathogenicity on immature cherry fruitlets was also investigated. Finally, the chemical composition of EOs was determined using gas chromatography–mass spectrometry (GC-MS).

Results and Discussion



©2023 The author(s). This is an open access article distributed under [Creative Commons Attribution 4.0 International License \(CC BY 4.0\)](https://creativecommons.org/licenses/by/4.0/), which permits use, sharing, adaptation, distribution and reproduction in any medium or format, as long as you give appropriate credit to the original author(s) and the source.

<https://doi.org/10.22067/jpp.2023.81813.1141>

All studied essential oils have different antibacterial effects in interaction with Pss bacteria. EOs of *T. transcaspicus* and *S. khuzistanica* showed a significant inhibitory effect with minimum inhibitory concentration (MIC) and minimum bactericidal concentration (MBC) value of 1.16 and 2.32 g L⁻¹, respectively against Pss compared with other essential oils and streptomycin antibiotic. Sub-inhibitory concentrations test of EOs showed no significant effect on the growth pathogen. The swarming motility of bacterial cells treated with essential oil decreased by 25-55% and the swimming motility decreased by 18.42 to 35.71% compared with the control. *T. transcaspicus* and *S. khuzistanica* within the range of 70-75% showed the strongest inhibitory effect on biofilm formation. Also, in the toxin production test, *T. transcaspicus* and *S. khuzistanica* EOs are effective in reducing syringomycin production and increasing the growth of *Geotrichum candidum* by 1.5 to 1.76 times compared with control (not treatment with EOs). The EOs treatment at MICs reduced the symptoms of the disease. In immature cherries inoculated with Pss bacterium and treated with EO of *T. transcaspicus* was not observed necrosis symptom. The four selected essential oils tested all had a role in reducing the virulence factors in Pss, and the degree of effectiveness is different depending on the components of the essential oil. The higher the phenolic content in the essential oil, the greater its antimicrobial properties against plant pathogenic bacteria. According to the EOs analysis, thymol in *T. transcaspicus*, carvacrol in *S. khuzistanica*, piperitone in *M. longifolia*, and pulegone in *Ziziphora clinopodioides* were the major constituent compound. It seems that the highest amounts of compounds in essential oils have a higher antibacterial power. The EOs of *T. transcaspicus* and *S. khuzistanica* effectively reduce the pathogenic activity of bacterial cankers agent in stone fruits.

Conclusion

The studied plant compounds in sub-inhibition concentration showed acceptable potential in inhibiting pathogenic agents in *in vitro* tests. Taking into account the growing trend of the general acceptance of natural control compounds in the field of plant diseases, it seems that planning in line with how to use plant products to reduce the consumption of pesticides can be investigated and needs complementary experiments. In order to reduce the spread of bacterial canker symptoms and increase the life span of the tree, the main effective substances (oxygenated monoterpenes) of the essential oils of *T. transcaspicus* and *S. khuzistanica* can be used as a model chemical structure for the synthesis of antimicrobial substances using the experts in the field of chemistry and pharmaceuticals. It is suggested to investigate the stability and preservation of antimicrobial properties in laboratory and field conditions.

Keywords: Canker of stone fruits, Control, Pathogenicity reduction, Plant volatiles, Sub-inhibitory concentration

مقاله پژوهشی

جلد ۳۷ شماره ۴، زمستان ۱۴۰۲، ص. ۳۹۸-۳۸۱

بررسی غلظت‌های زیر بازدارندگی برخی اسانس‌های گیاهی بر فاکتورهای پرآزاری بیمارگر

Pseudomonas syringae pv. *syringae*سحر قربانپور یدکی^۱ - ساره بقائی راوری^۲  - محمد مقدم^۳ - پژمان خدایگان^۴

تاریخ دریافت: ۱۴۰۲/۰۱/۱۵

تاریخ پذیرش: ۱۴۰۲/۰۷/۰۸

چکیده

از بیماری‌های مهم باکتریایی درختان میوه، شانکر باکتریایی درختان هسته‌دار با عامل *Pseudomonas syringae* pv. *syringae* (Pss) می‌باشد. در این پژوهش، خصوصیات ضدباکتریایی شش اسانس گیاهی علیه باکتری Pss براساس آزمون نش‌ت در دیسک، تعیین حداقل غلظت بازدارنده و حداقل غلظت کشنده ارزیابی و گروه‌بندی شد. تأثیر غلظت زیربازدارندگی اسانس‌های منتخب بر برخی عوامل پر آزاری بیمارگر و نیز اثرگذاری اسانس‌های منتخب بر کاهش بیماری‌زایی باکتری روی میوه نارس گیلاس بررسی و ترکیبات اسانس‌ها مشخص گردید. براساس نتایج، اسانس مرزه خوزستانی و آویشن خراسانی اثر بازدارندگی قابل توجهی با حداقل غلظت بازدارندگی و کشندگی ۱/۱۶ و ۲/۳۲ گرم بر لیتر بر باکتری Pss، در مقایسه با سایر اسانس‌ها و آنتی‌بیوتیک استرپتومایسین نشان دادند. اسانس‌های منتخب در غلظت زیر بازدارندگی از رشد بیمارگر جلوگیری نکردند. قابلیت تحرک توده‌ای سلول‌های تحت تیمار اسانس‌ها نسبت به شاهد ۲۵ تا ۵۵ درصد و قابلیت تحرک شناوری ۱۸/۴۲ تا ۳۵/۷۱ درصد کاهش یافت. آویشن خراسانی و مرزه خوزستانی با درصد بازدارندگی به ترتیب ۷۵ و ۷۰ درصد قوی‌ترین اثر مهارکنندگی را بر میزان تشکیل بیوفیلم نشان دادند. همچنین، در آزمون تولید توکسین، دو اسانس آویشن خراسانی و مرزه خوزستانی در کاهش تولید سیرینگومایسین و افزایش رشد قارچ *Geotrichum candidum* به ترتیب به میزان ۱/۷۶ و ۱/۵ برابر در مقایسه با شاهد (عدم تیمار با اسانس) مؤثر بودند. تیمار اسانس‌ها در مقادیر حداقل غلظت بازدارنده سبب کاهش علائم بیماری شد. بر اساس آنالیز اسانس‌ها به ترتیب تیمول در اسانس آویشن خراسانی، کارواکرول در اسانس مرزه خوزستانی، پیریتون در اسانس پونه کوهی و پولگون در اسانس کاکوتی به‌عنوان ترکیبات عمده تعیین شد. به‌طور کلی، نتایج این تحقیق نشان داد مواد مؤثره اصلی دو اسانس آویشن خراسانی و مرزه خوزستانی در کاهش فعالیت بیمارگر شانکر باکتریایی هسته‌داران مؤثر هستند که می‌توانند به‌عنوان ساختار شیمیایی الگو در جهت سنتز مواد ضد میکروبی مد نظر قرار گیرند.

واژه‌های کلیدی: شانکر هسته‌داران، غلظت زیر-بازدارندگی، کاهش بیماری‌زایی، کنترل، مواد فرار گیاهی

مقدمه

درختان میوه هسته‌دار جزء خانواده گلسرخیان و زیر خانواده آلوسانان و جنس آلو هستند که به‌صورت درخت یا درختچه‌های خزان‌دار یا همیشه‌سبز هستند (Rasoolzadegan, 1997). شانکر باکتریایی با عامل *Pseudomonas syringae* pv. *syringae* (Pss) یکی از بیماری‌های مهم خسارت‌زای هسته‌داران است که به‌عنوان یک تهدید بالقوه برای تولید، کشت و پرورش درختان میوه هسته‌دار محسوب می‌شود (Farhadfar et al., 2016). این بیمارگر دامنه‌ی میزبانی وسیعی دارد و جدایه‌های آن از نظر خصوصیات بیوشیمیایی، بیماری‌زایی و ژنتیکی تفاوت‌های زیادی دارد (Gasic et al., 2012). در ایران این بیماری اولین بار روی درختان

- ۱ و ۲- به ترتیب دانش‌آموخته کارشناسی ارشد بیماری‌شناسی گیاهی و دانشیار گروه گیاه‌پزشکی، دانشکده کشاورزی، دانشگاه فردوسی مشهد، مشهد، ایران
- ۳- نویسنده مسئول: (Email: s.baghaee@um.ac.ir)
- ۳- دانشیار گروه علوم باغبانی، دانشکده کشاورزی، دانشگاه فردوسی مشهد، مشهد، ایران
- ۴- دانشیار گروه گیاه‌پزشکی، دانشکده کشاورزی، دانشگاه ولیعصر رفسنجان، رفسنجان، ایران

<https://doi.org/10.22067/jpp.2023.81813.1141>

زردآلو در اصفهان مشاهده و میزان خسارت آن ۵۰-۲۲ درصد ذکر شد (Bahar et al., 1985). نشانه‌های بیماری بستگی به رقم و سن درخت، بافت مورد حمله میزبان، نژاد بیمارگر و شرایط محیطی دارد. بارزترین علائم بیماری در طی فصل رشد در درختان میوه، به‌صورت تشکیل شانکر همراه با تراوش صمغ روی شاخه و تنه درختان و در برگ‌ها به شکل لکه‌های آبسوخته است که در نهایت قهوه‌ای و خشک‌شده و حالت غربالی را در برگ‌ها ایجاد می‌کند (Agrios, 2005). بیماری به شکوفه‌ها و شاخه‌های گل‌دهنده سرایت کرده و موجب مرگ سریع شاخه‌ها نیز می‌شود (Spotts et al., 2010). جمعیت این باکتری در طی فصل رشد درختان در حال تغییر و نوسان است. از عوامل اصلی افزایش یا کاهش جمعیت، دمای محیط و میزان بارندگی است (Agrios, 2005).

این بیمارگر در تعامل با میزبان از طیف وسیعی از عوامل بیماری‌زایی و پرآزایی استفاده می‌کند تا بتواند علائم بیماری را در میزبان‌های خود القاء کند (Ichinose et al., 2013). برای کنترل بیماری شانکر باکتریایی از شیوه‌های مختلفی، مانند اقدامات بهداشتی، انتخاب ارقام مقاوم و نهال‌های گواهی‌شده (Bultreys & Kaluzna, 2010) و سموم شیمیایی بر پایه مس استفاده می‌شود (Kennelly et al., 2007). به‌کارگیری فرآورده‌های مشتق‌شده از گیاهان مانند اسانس‌ها و عصاره‌ها، نیز یکی از روش‌های مدیریتی سازگار در راستای اهداف زیست‌محیطی است (López Belchí et al., 2021). اسانس‌ها طیف گسترده‌ای از اجزاء ضد میکروبی را در برمی‌گیرند و دارای اثربخشی بالا، عملکرد چندگانه و سمیت کم روی موجودات غیرهدف هستند (Pavela & Benelli, 2016).

در برهمکنش بین میزبان و باکتری بیمارگر، بسیاری از تمهیدات و تولیدات باکتری برای بیماری‌زایی و پرآزایی تحت کنترل سیستم حد نصاب احساس (Quorum sensing) است. این مکانیسم در تنظیم پدیده‌های مختلفی مانند تولید پلی‌ساکاریدهای خارج سلولی، تشکیل و بقای بیوفیلم، تولید متابولیت‌های ثانویه، بیماری‌زایی و پرآزایی در باکتری‌های بیمارگر نقش کلیدی دارد (Matas et al., 2012).

اسانس آویشن باغی (*Thymus vulgaris*) و مرزنجوش (*Oreganum vulgare*) حاوی کارواکرول بالا (به‌ترتیب ۲۹/۵ و ۱۹/۷ درصد) و تیمول کم (۱/۵ درصد) بوده و سبب مهار رشد بهتر جدایه‌های *P. syringae* نسبت به آنتی‌بیوتیک استرپتومایسین شده اند (Oliva et al., 2015). همچنین در مقادیر حداقل غلظت با‌دارندگی و کشندگی بیشترین اثرگذاری را روی فاکتورهای بیماری‌زایی جدایه‌ی Pss دارند (Carezzano et al., 2017). شبانی و همکاران (Shabani et al., 2019) نشان دادند که از بین شش اسانس گیاهی علیه باکتری Pss، اسانس آویشن دناهی (*Thymus daenensis*) دارای تیمول به میزان ۷۰/۳۲ درصد، بالاترین قطر هاله

با‌دارندگی (۲۰ میلی‌متر) و بیشترین اثر را در برابر بیمارگر دارد. اثر با‌دارندگی ۱۳ اسانس گیاهی روی جدایه Pss به‌دست‌آمده از هسته‌داران استان کرمان بررسی و نتایج آن را با اثر ۱۳ آنتی‌بیوتیک مورد مقایسه قرار دادند. نتایج حاکی از آن است که بیشترین اثر با‌دارندگی روی Pss، مربوط به آنگوزه و رزماری، اثر متوسط با‌دارندگی مربوط به اسانس‌های نعناع، زوفا (*Hyssopus officinalis*)، اسطوخودوس (*Lavandula stoechas*) و آلاله (*Ranunculus sceleratus*) است و کمترین اثر با‌دارندگی را گیاهان بومادران (*Achillea millefolium*)، کلپوره (*Teucrium chamaedrys*) و رازیانه (*Foeniculum vulgare*) دارند و جدایه‌ها نسبت به استرپتومایسین و اریترومایسین نیز حساس بودند (Khodaygan et al., 2012).

از آن‌جاکه خسارت بیماری شانکر باکتریایی در درختان میوه هسته‌دار، کاهش کمیت و کیفیت محصولات را به دنبال دارد، به منظور کاهش گسترش علایم بیماری، افزایش طول عمر درخت و داشتن عملکرد نسبی برای باغدار می‌توان از مواد مؤثره اصلی اسانس‌های گیاهی به‌عنوان ساختار شیمیایی الگو، در جهت سنتز مواد ضد میکروبی و یا تغییرات در گروه‌های عاملی مواد ضد میکروبی حاضر در جهت بهبود کارکرد، ایده گرفت. پژوهش حاضر، باهدف ارزیابی اثر با‌دارندگی و زیربا‌دارندگی شش اسانس دارویی بومی علیه عامل بیماری شانکر باکتریایی هسته‌داران انجام شده است. اثر اسانس‌های منتخب در کاهش فاکتورهای پرآزایی بیمارگر ارزیابی و ترکیبات مؤثره اسانس‌ها نیز مشخص شده است.

مواد و روش‌ها

جدایه‌ی باکتریایی مورد استفاده

باکتری *Pseudomonas syringae* pv. *syringae* از کلکسیون گروه گیاه‌پزشکی دانشکده کشاورزی شیراز (جدا شده از درختان میوه هسته‌دار) برای انجام آزمایشات تهیه گردید.

تهیه و استخراج اسانس از نمونه‌های گیاهی

نمونه‌های گیاهی کاکوتی، آویشن خراسانی، برازمیل، پونه کوهی، درمنه از مناطق مختلف استان خراسان رضوی جمع‌آوری و مرزه خوزستانی از شرکت خرم‌ان (خرم‌آباد، ایران) تهیه شد (جدول ۱). بعد از شناسایی گونه‌های ذکر شده، مراحل بعدی شامل خشک‌کردن و آماده کردن نمونه‌ها جهت اسانس‌گیری به روش تقطیر با آب و به‌وسیله دستگاه کلونجر انجام شد (Jaymand & Rezaee, 2007). استخراج اسانس برای هر نمونه گیاهی در چهار تکرار و برای هر تکرار ۱۰۰ گرم از نمونه گیاهی خرد شده استفاده شد. پس از استخراج، برای انجام عمل آب‌گیری اسانس‌ها از سولفات سدیم

(اتانول ۲۰ درصد و توئین ۲۰) را به نسبت ۱ به ۱ با اسانس به صورت یکنواخت مخلوط و در انجام آزمایشات از آن استفاده شد.

خشک استفاده شد. اسانس‌ها در ظروف شیشه‌ای تیره در دمای ۴ درجه سلسیوس نگهداری شدند (Ramezaniam et al., 2016). به‌منظور بهبود توزیع اسانس در محیط کشت، محلول امولسیفایر

جدول ۱- اسانس‌های گیاهی مورد استفاده در آزمایش‌ها

نام علمی	خانواده گیاهی	نام فارسی	اندام تقطیر شده
Scientific Name	Plant Family	Persian Name	Distilled Organ
<i>Thymus transcaspicus</i>	Lamiaceae	اویشن خراسانی	برگ (leaf)
<i>Satureja khuzistanica</i>	Lamiaceae	مرزه خوزستانی	برگ (leaf)
<i>Ziziphora clinopodioides</i>	Lamiaceae	کاکوتی	برگ (leaf)
<i>Mentha longifolia</i>	Lamiaceae	پونه کوهی	برگ (leaf)
<i>Perorkia abrotanoides</i>	Lamiaceae	برازمبل	برگ (leaf)
<i>Artemisia persica</i>	Asteraceae	درمنه	برگ (leaf)

Table 1- List of used plant essential oils and related distilled organ

خانه‌ای تهیه و سپس چاهک‌ها از نظر کدورت ناشی از رشد باکتری مورد بررسی قرار گرفتند. حداقل غلظت مهارکنندگی که حاوی کمترین غلظت اسانس بود و در آن باکتری رشد قابل‌رؤی‌تی نداشت، به‌عنوان MIC انتخاب گردید. در مرحله بعد برای تخمین حداقل غلظت کشندگی، مقدار ۱۰ میکرولیتر از محتویات چاهک‌های بدون رشد که در آن‌ها کدورت قابل‌مشاهده‌ای ایجاد نشده بود، روی محیط کشت نوترینت آگار کشت شد. بعد از مدت‌زمان انکوباسیون، کمترین غلظتی از اسانس که باکتری رشدی روی محیط جامد نداشت، به‌عنوان MBC در نظر گرفته شد. از چاهک حاوی محیط کشت و فاقد باکتری برای کنترل منفی و از چاهک حاوی باکتری و محیط کشت برای کنترل مثبت استفاده شد (Hajian-Maleki et al., 2019).

همچنین در این آزمایش، غلظت زیر بازدارندگی (Sub-MICs) اسانس که تأثیر باکتری‌کشی یا باکتری‌ایستایی قابل‌مشاهده‌ای روی سلول‌های باکتری نداشتند با تعیین OD در طول موج ۶۰۰ نانومتر به‌وسیله دستگاه الیزا ریدر (AWARNESSTech. Inc. USA Stat Fax 2100) تعیین گردید. اثر غلظت زیربازدارندگی بر فاکتورهای پرازایی جدایه بیمارگر مورد مطالعه، ارزیابی شد.

بررسی اثر اسانس بر رشد باکتری

به‌منظور بررسی عدم تأثیرگذاری مقادیر زیر بازدارندگی اسانس‌های گیاهی مورد استفاده در آزمون و آنتی‌بیوتیک استریپتومایسین روی رشد سلول‌های باکتری، سوسپانسیونی از کشت ۲۴ ساعته باکتری در محیط نوترینت برات^۱ به غلظت 1×10^8 CFU ml⁻¹ در پلیت ۹۶ خانه تهیه و مقدار ۱۰ میکرولیتر از آن به هر چاهک پلیت افزوده شد.

بررسی اثر ضدباکتریایی اسانس با روش نشست در محیط کشت

ارزیابی اثر ضدباکتریایی اسانس‌های مورد آزمون از روش نشست در دیسک طبق اصول CLSI (2018) انجام گرفت. مقدار ۱۰۰ میکرولیتر از سوسپانسیون باکتری با غلظت 1×10^8 CFU.ml⁻¹ روی پتری‌های حاوی نوترینت آگار منتقل و به‌وسیله سوآپ سترون در سه جهت مختلف کشت شد. دیسک‌های به قطر شش میلی‌متری روی محیط قرار گرفته و به آن‌ها ۲۰ میکرولیتر (۱۸/۵ میلی‌گرم) اسانس اضافه شد. تستک‌های پتری به مدت ۲۴ ساعت داخل انکوباتور با دمای ۲۸ درجه سلسیوس نگهداری شدند. سپس اثر اسانس بر رشد باکتری با اندازه‌گیری هاله بازدارنده مورد بررسی قرار گرفت. از دیسک‌های آغشته به توئین ۲۰ و آنتی‌بیوتیک استریپتومایسین (۱۸/۵ میلی‌گرم) به‌ترتیب، به‌عنوان شاهد منفی و مثبت استفاده گردید. آزمون برای هر تیمار با چهار تکرار انجام گرفت.

تعیین حداقل غلظت بازدارندگی (MIC)^۱ و حداقل غلظت کشندگی (MBC)^۲

برای تعیین باکتری‌ایستایی و باکتری‌کشی اسانس‌های گیاهی و آنتی‌بیوتیک استریپتومایسین (به‌عنوان معیار) از روش میکرودیولوشن در محیط مایع^۳ استفاده شد. برای تعیین حداقل غلظت بازدارندگی (MIC) اسانس از سری رقت از هر اسانس از غلظت ۱۸/۵ تا ۱/۸۵ میلی‌گرم در حجم ۲۰۰ میکرولیتر به روش رقیق‌سازی متوالی در محیط نوترینت برات (NB) با چهار تکرار در چاهک‌های پلیت ۹۶

1- Minimum Inhibitory Concentration

2-Minimum Bactericidal Concentration

3- Broth microdilution

4- Sub-Minimum Inhibitory Concentration

تهیه شده از آزمایشگاه میکروبیولوژی گروه صنایع غذایی دانشگاه فردوسی مشهد) انجام شد. جدایه باکتری تحت تیمار غلظت زیر بازدارندگی اسانس‌ها روی محیط کشت PDA به صورت خطی در یک سمت تشتک پتری کشت داده و به مدت پنج روز در دمای ۲۸- ۲۵ درجه سلسیوس نگهداری شدند. بعد از این مدت زمان تشتک پتری‌ها تحت بخار کلروفرم به مدت ۳۰ دقیقه قرار گرفتند و در آخر دیسکی از پرگنه قارچ در قسمت مرکزی تشتک پتری قرار داده شد. میزان رشد قارچ براساس میزان سیرینگومایسین تولیدی توسط باکتری تحت تیمار اسانس‌ها، بعد از ۲۴ ساعت اندازه‌گیری شد (Hwang et al., 2005). از سوسپانسیون باکتری که تحت تیمار اسانس‌های گیاهی قرار نگرفته بود به‌عنوان شاهد مثبت استفاده شد.

بررسی اثر اسانس بر بیماری‌زایی جدایه Pss روی میوه های گیلاس

برای ارزیابی بیماری‌زایی جدایه باکتری Pss، از میوه‌های نارس گیلاس استفاده شد. ابتدا میوه‌ها به مدت سه دقیقه درون اتانول ۵۰ درصد قرار گرفتند و سپس سه مرتبه با آب مقطر سترون شست‌وشو داده شدند. از سوسپانسیون کشت ۲۴ ساعته باکتری ($OD_{600}=0.5$) که تحت تیمار مقادیر حداقل غلظت بازدارنده اسانس‌های گیاهی قرار گرفته، مقدار ۲۰ میکرولیتر داخل بافت گوشتی میوه تزریق شد. پس از مایه‌زنی، میوه‌ها روی کاغذهای صافی سترون مرطوب درون پتری قرار داده شد و به مدت چهار روز در دمای ۲۴ درجه سلسیوس و رطوبت ۹۰ درصد درون ژرمیناتور نگهداری و سپس علائم بر اساس میزان آب‌سوختگی و مرگ بافت مورد ارزیابی قرار گرفت. از آب مقطر سترون به‌عنوان شاهد منفی استفاده شد.

شناسایی توسط کروماتوگراف گازی همراه با طیف‌سنج جرمی (GC-MS)

آنالیز ترکیبات تشکیل‌دهنده اسانس‌های آزمایشی منتخب به‌وسیله دستگاه گاز کروماتوگراف همراه با طیف‌سنج جرمی شرکت تکنولوژی آژلینت (Thermo Quest 2000, Lancashire, UK) انجام شد. که مجهز به ستون کروماتوگرافی HP-5ms به طول ۳۰ متر و قطر داخلی ۰/۲۵ میلی‌متر و ضخامت روکش فیلم ۰/۲۵ میکرومتر که به یک دستگاه سنجش جرمی چهارگانه متصل است و به یک رایانه مجهز به کتابخانه Wiley 7n.l مجهز بوده است. برنامه دمایی ۲۵۰ تا ۵۰ درجه سلسیوس با افزایش تدریجی ۳ درجه سلسیوس در هر دقیقه و نهایتاً ۱۰ دقیقه در ۲۵۰ درجه سلسیوس تنظیم شد. دمای اتاق تزریق ۲۸۰ درجه سلسیوس بود و از گاز حامل هلیوم با نرخ جریان ۰/۰۶ لیتر بر ساعت استفاده شد. سپس شناسایی هر جزء با مقایسه طیف جرمی و RI با نمونه‌های معتبر و

سپس پلیت کشت آماده شده درون شیکر انکوباتور با دمای ۲۸ درجه سلسیوس و سرعت ۱۲۰ دور بر دقیقه قرار داده شد. تغییرات رشد باکتری در بازه‌های چهارساعته به‌وسیله دستگاه الیزاریدر در طول موج ۶۰۰ نانومتر اندازه‌گیری شدند. این آزمایش در دو نوبت مستقل با ۴ تکرار انجام گرفت.

بررسی اثر اسانس بر تشکیل بیوفیلم باکتری

برای اندازه‌گیری میزان بیوفیلم، غلظت‌های انتخاب شده اسانس‌های گیاهی و استریتومایسین در چاهک‌های پلیت با حجم ۲۰۰ میکرولیتر آماده و سپس مقدار ۱۰ میکرولیتر از سوسپانسیون باکتری به هر چاهک افزوده و پلیت‌ها در دمای ۲۸ درجه سلسیوس به صورت ساکن به مدت ۴۸ ساعت در انکوباتور قرار گرفتند. پس از این مدت زمان، محتویات پلیت را خالی و چاهک‌ها را با آب مقطر سترون شست‌وشو داده و در دمای اتاق به حالت برعکس قرار داده تا خشک شوند و به هر چاهک ۲۰۰ میکرولیتر محلول کریستال ویوله ۰/۱ درصد جهت رنگ‌آمیزی در چاهک‌ها افزوده شد. بعد از گذشت ۳۰ دقیقه، شستشو با آب مقطر سترون انجام گرفت. در نهایت ۲۰۰ میکرولیتر اتانول ۹۵ درصد جهت حل کردن رنگ متصل به چاهک‌ها اضافه و بعد از ۱۰ دقیقه میزان جذب در طول موج ۵۷۰ نانومتر توسط دستگاه الیزاریدر اندازه‌گیری شد (Santos et al., 2020).

بررسی اثر اسانس بر تحرک باکتری

برای بررسی میزان حرکت شناوری^۱ و توده‌ای^۲ بیمارگر، سوسپانسیونی از کشت تازه باکتری در محیط نوترینت براث به غلظت 1×10^8 CFU/ml⁻¹ تهیه و تحت تیمار غلظت‌های زیر بازدارندگی اسانس‌های گیاهی و آنتی‌بیوتیک استریتومایسین قرار گرفت. دو میکرولیتر از سوسپانسیون باکتری تحت تیمار اسانس به‌صورت نقطه ای در مرکز تشتک پتری حاوی لوریا برتانی براث و ۰/۳ درصد آگار برای حرکت شناوری و ۸ گرم بر لیتر نوترینت براث، ۰/۵ درصد آگار و ۵ گرم بر لیتر گلوکز برای حرکت توده‌ای مایه‌زنی و در دمای ۲۸ درجه سلسیوس در انکوباتور نگهداری شدند (O'May & Tufenkji, 2011). از سوسپانسیون باکتری که تحت تیمار اسانس قرار نگرفت به‌عنوان شاهد مثبت آزمون استفاده شد. پس از ۲۴ ساعت میزان تحرک باکتری اندازه‌گیری شد. آزمون در سه تکرار انجام گرفت.

بررسی اثر اسانس بر تولید سیرینگومایسین

بررسی میزان تولید سیرینگومایسین در جدایه Pss در شرایط حضور و عدم حضور اسانس با استفاده از جدایه قارچ *G. candidum*

1- Swimming
2- Swarming

نتایج حاصل از تجزیه و تحلیل داده‌ها نشان داد که همه اسانس‌های مورد مطالعه در تعامل با باکتری *Pss* اثرات ضد باکتریایی متفاوتی دارند. با توجه به شکل ۱، بیش‌ترین میزان بازدارندگی از رشد باکتری در سنجش دیسک، توسط اسانس آویشن خراسانی و مرزه خوزستانی با قطر هاله بازدارنده ۲۲ و ۲۰ میلی‌متر و بعد از آن مربوط به اسانس پونه و کاکوتی، با قطر هاله بازدارندگی به ترتیب ۱۳ و ۹ میلی‌متر می‌باشد. کمترین میزان بازدارندگی توسط اسانس برازمیل و درمنه به ترتیب ۷ و ۴ میلی‌متر اندازه‌گیری شد. در شاهد مثبت (دیسک استاندارد استرپتومایسین) قطر هاله بازدارنده، ۱۵ میلی‌متر می‌باشد. با توجه به اثرات ضدباکتریایی مشاهده‌شده، از بین اسانس‌های گیاهی، اسانس آویشن خراسانی، مرزه خوزستانی، پونه و کاکوتی برای انجام آزمایشات بعدی و مقایسه با آنتی‌بیوتیک استرپتومایسین انتخاب شدند.

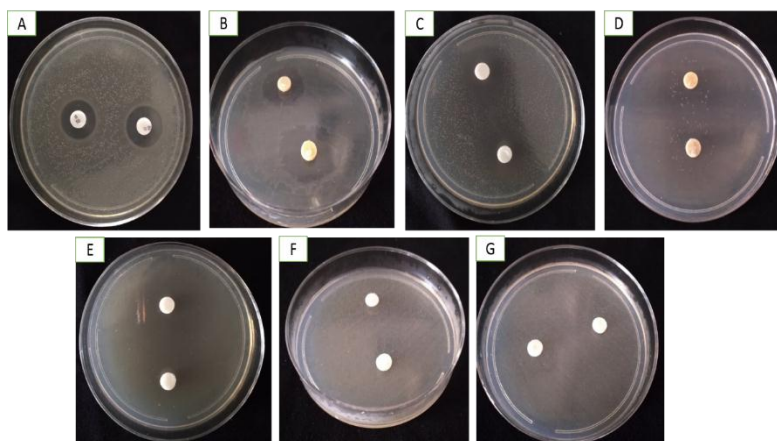
اجزای شناسایی‌شده در منابع (از جمله Adams et al., 2007) تکمیل شد. کمی‌سازی درصد نسبی هر جزء با توجه به سطح زیر پیک آن‌ها بدون در نظر گرفتن فاکتور کالیبراسیون انجام گرفت.

تجزیه و تحلیل آماری

تجزیه و تحلیل داده‌ها و نتایج آزمون‌های زیستی با استفاده از نرم‌افزار SPSS (Version 22) براساس آزمون آنالیز واریانس ارزیابی و مقایسه میانگین‌ها توسط آزمون چند دامنه‌ای دانکن در سطح معنی‌دار ۵ درصد تجزیه و تحلیل شدند.

نتایج و بحث

بررسی میزان بازدارندگی از رشد باکتری توسط اسانس‌های گیاهی



شکل ۱- قطر هاله بازدارندگی باکتری *Pseudomonas syringae* pv. *syringae* پس از قرار گیری در معرض اسانس‌های گیاهی و استرپتومایسین. A: آنتی بیوتیک B: اسانس آویشن خراسانی C: اسانس مرزه خوزستانی D: اسانس پونه E: اسانس کاکوتی F: اسانس برازمیل و G: اسانس درمنه

Figure 1- The diameter of bacterial inhibition zone of *Pseudomonas syringae* pv. *syringae* after being exposed to plant essential oils and streptomycin. A: antibiotic; B: *Thymus transcaspicus* oil; C: *Satureja khuzistanica*; D: *Mentha longifolia*; E: *Ziziphora clinopodioides*; F: *Perorkia abrotanoides*; G: *Artemisia persica*

۲/۳۲ و ۴/۶۵ گرم بر لیتر است. کمترین تأثیر نیز مربوط به اسانس کاکوتی با حداقل غلظت بازدارندگی و کشندگی ۴/۶۵ و ۹/۳ گرم بر لیتر می‌باشد. استرپتومایسین به‌عنوان آنتی‌بیوتیک مرجع نیز، با حداقل غلظت بازدارندگی و کشندگی ۲/۴۲ و ۴/۸۱ گرم بر لیتر سبب مهار رشد باکتری *Pss* شده است.

نتایج حداقل غلظت بازدارندگی (MIC) و کشندگی (MBC)

نتایج به‌دست‌آمده از آزمون حداقل غلظت بازدارندگی و حداقل غلظت کشندگی اسانس علیه باکتری بیمارگر نشان می‌دهد که همه اسانس‌های انتخابی روی رشد باکتری اثر بازدارنده داشته و نتایج آزمون نشد در دیسک را تأیید می‌کنند. با توجه به جدول ۲، اسانس‌های مرزه خوزستانی و آویشن خراسانی بیش‌ترین اثر بازدارندگی با حداقل غلظت بازدارندگی و کشندگی به ترتیب ۱/۱۶ و ۲/۳۲ گرم بر لیتر را دارند و در مرتبه بعد بیشترین تأثیر مربوط به اسانس پونه کوهی با حداقل غلظت بازدارندگی و کشندگی به ترتیب به میزان

جدول ۲- نتایج آزمون نشت در دیسک و قطر هاله بازدارنده پس از تیمار با اسانس و استریتومایسین (۱۸/۵ میلی گرم بر دیسک) و سنجش مقادیر MIC، MBC و sub-MIC بر حسب گرم بر لیتر روی جدایه باکتری *Pseudomonas syringae* pv. *syringae* هسته‌داران

Table 2-The results of the disc diffusion test and the diameter of the inhibitory halo after treatment with essential oil and streptomycin (18.5 mg/disc) and the measurement of MIC, MBC and sub-MIC values in grams per liter on *Pseudomonas syringae* pv. *syringae* of stone fruits

اسانس Essential oil	قطر هاله بازدارنده (mm) Diameter of inhibitory halo	حداقل غلظت بازدارندگی (MIC)	حداقل غلظت کشندگی (MBC)	حداقل غلظت زیر بازدارندگی (Sub-MIC)
آویشن خراسانی (<i>Thymus transcaspicus</i>)	22± 0.32 a	1.16± 1.5 c	2.32± 2.3 c	0.58± 1.5 c
مرزه خوزستانی (<i>Satureja khuzistanica</i>)	20± 0.87 a	1.16± 1.5 c	2.32± 2.3 c	0.58± 1.5 c
پونه (<i>Mentha longifolia</i>)	13± 0.93 b	2.32± 0.75 b	4.65± 2 b	1.16± 0.75 b
کاکوتی (<i>Ziziphora clinopodioides</i>)	9± 0.69 c	4.65± 2 a	9.3± 0.86 a	2.32± 1.25 a
استریتومایسین (Streptomycin)	15± 0.12 b	2.42± 2.25 b	4.81± 1.7 b	1.21± 0.68 b

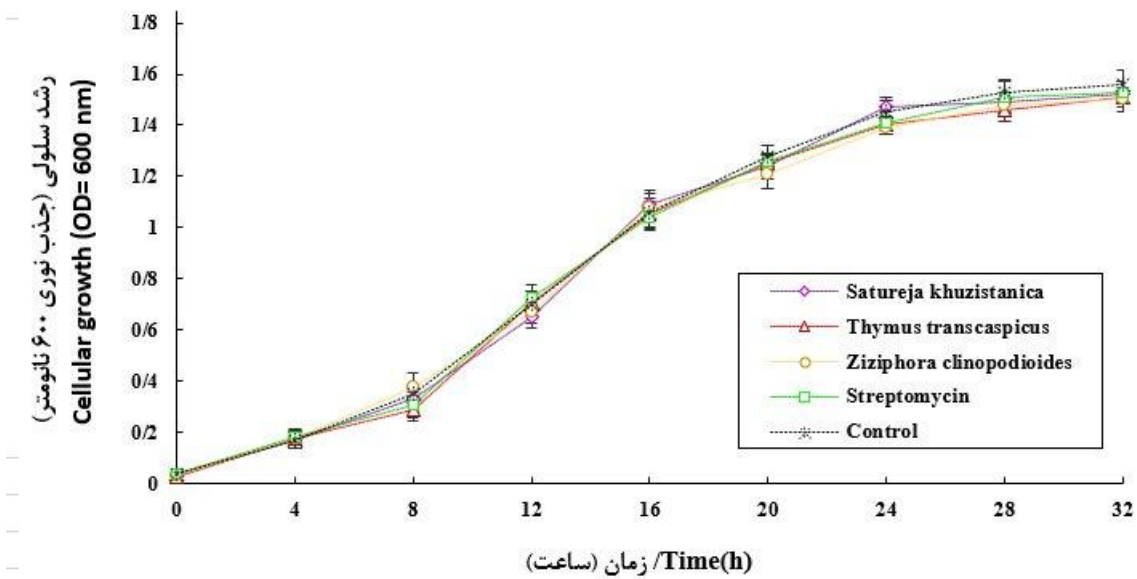
تشکیل بیوفیلم

میزان تشکیل بیوفیلم با کمی‌سازی شدت رنگ کریستال ویوله متصل شده به سلول‌های بیوفیلم در طول موج ۵۵۰ نانومتر تخمین زده شد. نتایج به‌دست‌آمده از این آزمایش (شکل ۳) نشان می‌دهد که اسانس‌های به کار گرفته‌شده در توسعه طبیعی بیوفیلم در مقایسه با نمونه‌های شاهد، اختلال ایجاد نموده‌اند. آویشن خراسانی و مرزه خوزستانی با درصد بازدارندگی به ترتیب ۷۵ و ۷۰ درصد قوی‌ترین اثر مهارکنندگی را بر میزان تشکیل بیوفیلم نشان داده و اسانس پونه با ۶۲ درصد و کاکوتی با ۴۰/۲ درصد بازدارندگی در رتبه‌های بعدی قرار گرفتند. هرچه مقدار MIC اسانس‌های مورد آزمون کمتر باشد اثر مهارکنندگی قوی‌تری را بر تشکیل بیوفیلم دارند. آنتی‌بیوتیک استریتومایسین درصد بازدارندگی کمتری (۱۲ درصد) نسبت به سایر تیمارها نشان داد و کاهش معنی‌داری را در تشکیل بیوفیلم در جدایه باکتری ایجاد نکرد. اسانس‌های حاوی ترکیبات فنلی بیشترین اثرگذاری را بر مهار تشکیل بیوفیلم نشان می‌دهند (Romero *et al.*, 2016). کاریزانو و همکاران (Carezzano *et al.*, 2017) نیز به بررسی اثر اسانس آویشن باغی و مرزنجوش در غلظت‌های زیربازدارندگی بر تشکیل بیوفیلم در جدایه‌های باکتری *Pseudomonas syringae* پرداخته‌اند که در این بررسی اسانس آویشن باغی بیشترین کاهش را در تشکیل بیوفیلم نشان داد. نتایج حاصل از این پژوهش با بررسی‌های انجام‌شده توسط کاوانو و ریبک (Kavanaugh & Ribbeck, 2012) مطابقت دارد که در آن گفته شده که اسانس گیاهان آویشن باغی، بالزام و نوعی دارچین توانایی بیشتری در کاهش بیوفیلم باکتری‌های *Pseudomonas* spp. نسبت به آنتی‌بیوتیک مورد استفاده دارد.

بین قطر هاله بازدارنده و مقادیر حداقل غلظت بازدارنده و کشنده ارتباطی معکوس وجود دارد (Bassole *et al.*, 2011). یکی از دلایل تفاوت در نتایج مشاهده شده در مورد تأثیر اسانس‌ها بر باکتری این است که متابولیت‌ها به چندین روش مختلف می‌توانند با باکتری‌ها برهمکنش داشته باشند تا آن‌ها را از بین ببرند و یا رشد باکتری را متوقف سازند. از بین بردن DNA، تخریب دیواره سلولی و یا تحت تأثیر قرار دادن غشای سیتوپلاسمی می‌تواند از دلایل آن باشد (Chouhan *et al.*, 2017). برای بررسی اثرات اسانس بر فاکتورهای پر آزاری باکتری بهتر است غلظتی انتخاب شود که اثر ایستایی، بازدارندگی و یا کشندگی روی سلول‌های باکتری نداشته باشد در غیر این صورت هرگونه تغییر در فاکتورهای پر آزاری را می‌توان مرتبط با آن دانست. بنابراین برای جلوگیری از آسیب‌رسانی به سلول در مقادیر حد بازدارندگی و بالاتر از آن، غلظت اسانس‌های مورد آزمون برای سنجش صفات پر آزاری، در سطوح Sub-MIC که باعث آسیب رساندن به زیست‌پذیری سلول نمی‌شوند، تعیین گردید.

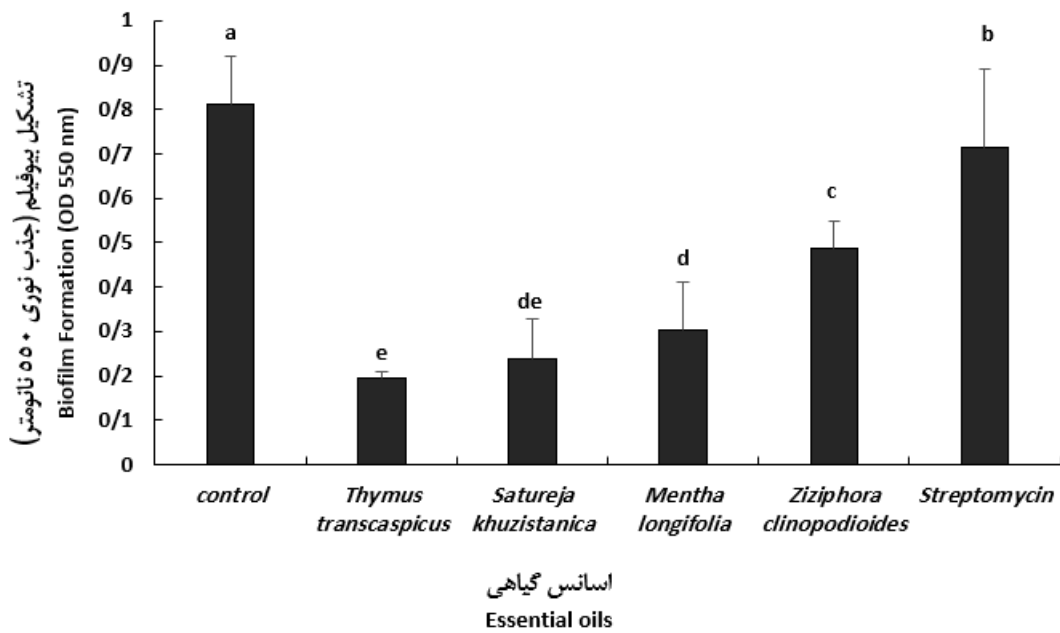
بررسی رشد

بر اساس تجزیه و تحلیل منحنی رشد می‌توان بیان کرد که تأثیر معنی‌داری در الگوی رشد شاهد و سلول‌های تیمار شده با اسانس در غلظت‌های Sub-MIC مورد آزمون وجود ندارند (شکل ۲). نرخ رشد و حداکثر جمعیت باکتری در غلظت‌های Sub-MIC در تیمار با شاهد مشابه می‌باشد و تأثیرات فاز تأخیری در چرخه رشد کشت‌های باکتریایی حاوی اسانس یا استریتومایسین مشاهده نشده است.



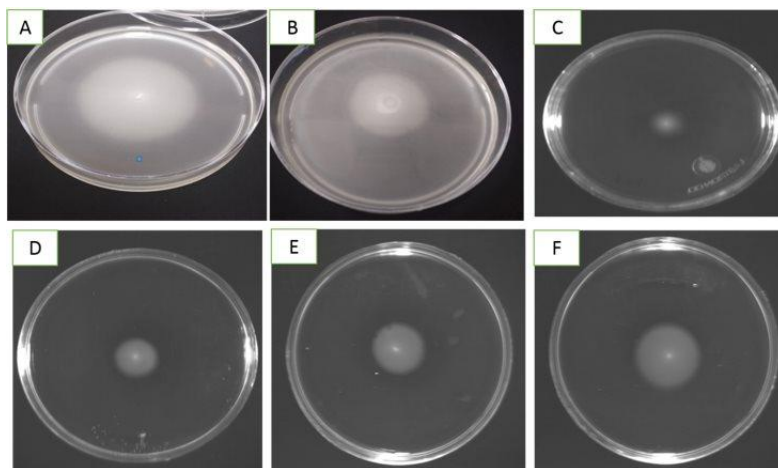
شکل ۲- منحنی رشد جدایه باکتری *Pseudomonas syringae* pv. *syringae* در حضور مقادیر Sub-MIC اسانس‌های مختلف و شاهد استرپتومایسین در طول یک دوره ۳۲ ساعته

Figure 2- Growth curve of *Pseudomonas syringae* pv. *syringae* in the presence of sub-MIC amounts of different essential oils and control streptomycin during a 32-hour period



شکل ۳- توسعه بیوفیلم توسط جدایه باکتری *Pseudomonas syringae* pv. *syringae* در حضور مقادیر Sub-MIC اسانس‌های مختلف گیاهی و استرپتومایسین

Figure 3- Biofilm development by *Pseudomonas syringae* pv. *syringae* in the presence of sub-MIC values of different plant essential oils and streptomycin



شکل ۴- آزمون تحرک شناوری جدایه باکتری *Pseudomonas syringae* pv. *syringae* در محیط ۰/۳٪ آگار بعد از ۳۲ ساعت. A: جدایه باکتری استرپتومایسین؛ B: جدایه باکتری تحت تیمار اسانس آویشن خراسانی، D: جدایه باکتری تحت تیمار اسانس مرزه خوزستانی، E: جدایه باکتری تحت تیمار اسانس پونه و F: جدایه باکتری تحت تیمار اسانس کاکوتی

Figure 4- Swimming motility test of *Pseudomonas syringae* pv. *syringae* on 0.3% agar medium after 32 hours. A: bacterial strain; B: Steptomycin; C: bacterial strain undertreatment of *Thymus transcaspicus*; D: *Satureja khuzistanica*; E: *Mentha longifolia* and F: *Ziziphora clinopodioides*

همین آزمون جهت تفکیک جدایه‌های مثبت در تولید زهرابه استفاده می‌شود.

بیمارگر تحت تیمار غلظت زیر-بازدارندگی اسانس‌های گیاهی سبب کاهش در تولید سیرینگومایسین در دامنه (۱/۱۵ تا ۱/۷۶ برابر) نسبت به شاخص اندازه‌گیری در شاهد (قطر پرگنه قارچ) شد (شکل ۴). در شرایط حضور اسانس‌های گیاهی، تولید کمتر سیرینگومایسین را می‌توان به عنوان حساسیت بیشتر باکتری نسبت به اسانس‌های گیاهی در نظر گرفت. بیش‌ترین میزان بازدارندگی از رشد قارچ مربوط به اسانس کاکوتی و کمترین میزان بازدارندگی از رشد قارچ مربوط به آویشن خراسانی و مرزه خوزستانی است. بر این اساس دو اسانس آویشن خراسانی و مرزه خوزستانی با اندازه‌گیری قطر کلنی قارچ به ترتیب ۲۳ و ۲۰ میلی‌متر، در کاهش تولید سیرینگومایسین و افزایش رشد قارچ به ترتیب به میزان ۱/۷۶ و ۱/۵ برابر در مقایسه با شاهد (عدم تیمار با اسانس) مؤثر می‌باشند. در مطالعات پیشین نیز به بررسی اثر اسانس آویشن باغی و مرزنجوش در تولید سیرینگومایسین جدایه‌های گونه‌های مختلف *Pseudomonas* پرداخته‌اند که شواهدی مشابه با یافته‌های ما ارائه شده و نشان داده‌اند که این دو اسانس خاصیت ضدبیوفیلم و ضد زهرابه علیه جدایه‌های این باکتری داشته‌اند (Carezzano et al., 2017).

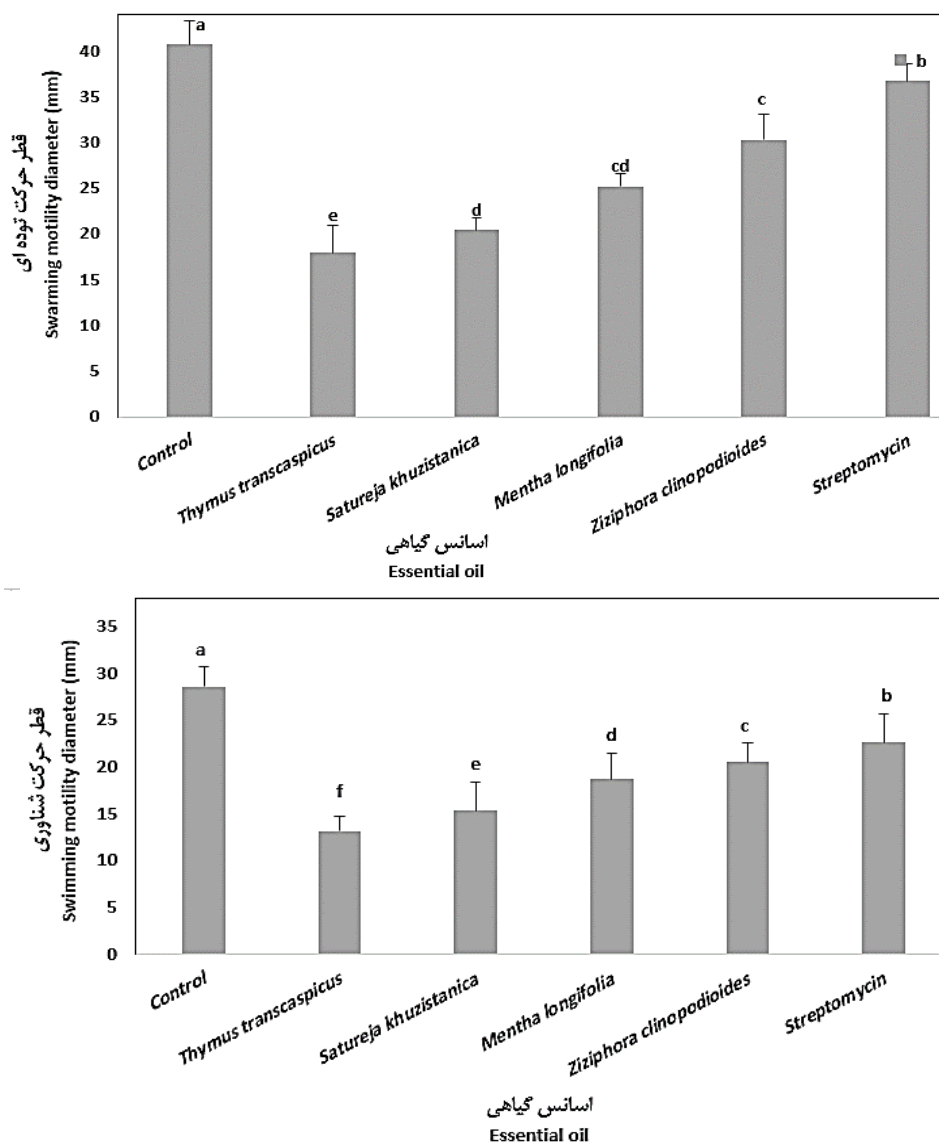
تحرک توده‌ای و شناوری

قابلیت تحرک توده‌ای سلول‌های تحت تیمار اسانس نسبت به شاهد ۲۵ تا ۵۵٪ و قابلیت تحرک شناوری ۱۸/۴۲ تا ۳۵/۷۱٪ کاهش یافته است (شکل ۴). بیشترین اثر کاهش تحرک جدایه *Pss* در تیمار با اسانس آویشن خراسانی و مرزه خوزستانی دیده شد. در تیمار آنتی‌بیوتیک استرپتومایسین قطر حرکت باکتری بیشتر از تیمارهای اسانس و کمتر نسبت به شاهد (باکتری بیمارگر) تعیین شد. مشاهدات ما نشان می‌دهد که تحرک باکتری در پلیت‌های مایه‌زنی شده با جدایه باکتری که تحت تیمار اسانس‌ها قرار گرفته بود، در مقایسه با نمونه شاهد کاهش یافت که میزان آن بین اسانس‌ها متفاوت است (شکل ۵).

بررسی اثر اسانس آویشن و ترکیبات فعال آن (کارواکرول و تیمول) روی حرکت شناوری باکتری *Pseudomonas fluorescens* مشخص نمود که اسانس آویشن باعث کاهش تحرک باکتری نسبت به شاهد شده است (Myszka et al., 2016). اسانس آویشن، حرکت توده‌ای و شناوری باکتری *Xanthomonas oryzae* pv. *oryzae* را به ترتیب به میزان ۲۴٪ و ۱۹٪ کاهش داده است (Singh et al., 2017).

ارزیابی تولید سیرینگومایسین در حضور اسانس‌های گیاهی

جدایه بیماری‌زای *Pss* با تولید زهرابه سیرینگومایسین مانع از رشد قارچ *G. candidum* روی محیط کشت PDA می‌شود و از



شکل ۵- تحرک توده‌ای و شناوری جدایه باکتری *Pseudomonas syringae* pv. *syringae* پس از قرارگیری در معرض اسانس‌های گیاهی و استرپتومایسین

میزان تحرک پس از ۳۲ ساعت اندازه‌گیری گردید و نتایج برحسب میلی‌متر می‌باشد.

Figure 5- Swarming and swimming motility of *Pseudomonas syringae* pv. *syringae* after exposure to plant essential oils and streptomycin

The mobility was measured after 32 hours and the results are in millimeters.

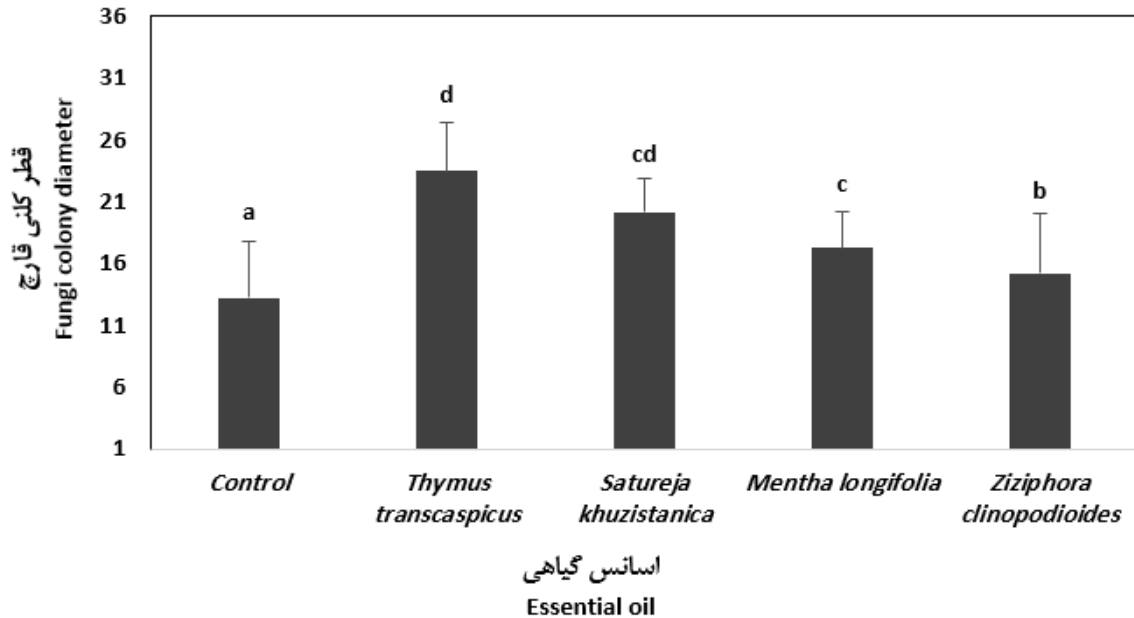
نکروز در اندازه‌های متفاوت ایجاد گردید. در این آزمون هیچ‌گونه علائمی روی میوه گیلاس مایه‌زنی شده با اسانس آویشن مشاهده نگردید و به‌طور ۱۰۰ درصد از بروز نکروز جلوگیری کرد (شکل ۷). تولید فاکتورهای پر آزاری با افزایش شدت بیماری‌زایی ارتباط مستقیم دارد، اما به‌تنهایی برای ایجاد بیماری‌زایی باکتری *PSS* روی درختان هسته‌دار مؤثر نمی‌باشد (Bender & Scholz-Schroeder).

ارزیابی توان اسانس‌های گیاهی در کاهش علائم بیمارگر *PSS* در میوه‌های نارس گیلاس

جدایه بیمارگر تحت تیمار غلظت‌های MIC اسانس‌ها، به میوه‌های نارس گیلاس مایه‌زنی و تا یک هفته بعد علائم بررسی شد. براساس مشاهدات، بروز علائم روی میوه گیلاس متفاوت و علائم

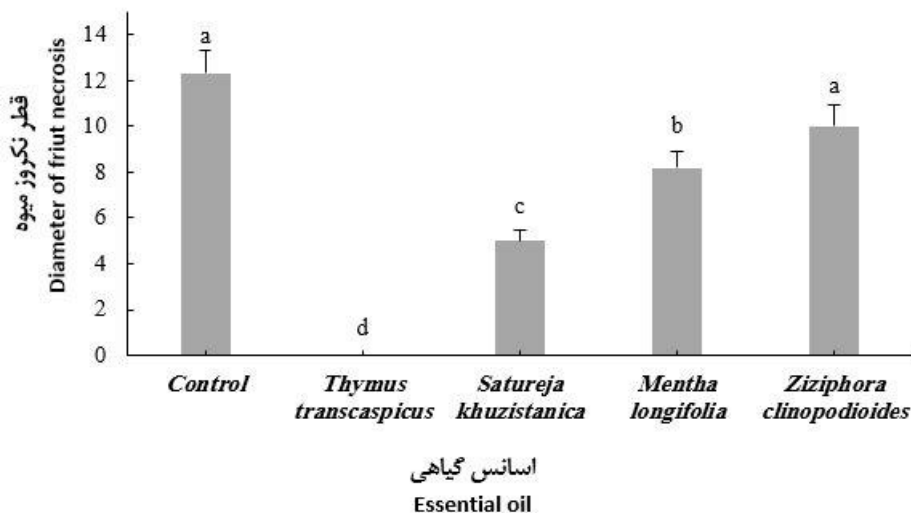
جلوگیری از رشد باکتری *Pss* مورد آزمایش قرار دادند. تحقیقات آن‌ها نشان داد که این دو اسانس به‌علت بالا بودن درصد کارواکرول، بیشترین تأثیر را در کاهش رشد باکتری نسبت به شاهد داشتند.

(2004). چهار اسانس انتخابی مورد آزمون همگی بر کاهش اثرگذاری فاکتورهای پر آزاری در *Pss* نقش داشتند که میزان اثرگذاری بسته به مواد متشکله اسانس متفاوت است. هرچه مواد فنولیک در اسانس بالاتر باشد خواص ضد میکروبی آن علیه باکتری بیمارگر گیاهی بیشتر می‌شود (Alymanesh & Mirzaei, 2013). آلیوا و همکاران (Oliva)



شکل ۶- میزان تولید سیرینگومایسین توسط جدایه باکتری *Pseudomonas syringae* pv. *syringae* در حضور مقادیر Sub-MIC اسانس‌های گیاهی (براساس مقایسه قطر پرگنه فارچ *Geotrichum candidum*)

Figure 6- The amount of syringomycin production by *Pseudomonas syringae* pv. *syringae* in the presence of sub-MIC values of plant essential oils (based on the comparison of the colony diameter of *Geotrichum candidum*)



شکل ۷- تأثیر اسانس‌های گیاهی بر توان ایجاد بیماری‌زایی جدایه *Pseudomonas syringae* pv. *syringae* روی میوه گیلاس نارس و اندازه‌گیری قطر نکروز پس از یک هفته

Figure 7- The effect of plant essential oils on the pathogenicity of *Pseudomonas syringae* pv. *syringae* on green cherry fruit and measuring the necrosis diameter after one week

ءءول ۳- نتاىء آنالزى GC-MS برائ اسانس‌هاى مرزه ءوزسئانى، آوئشن ءراسانى، بونه و كاكوئى
ءركببائ اصلى موجود ءر اسانس به صورئ ءبره مشءص گرءبءه اسئ.

Table 3- Results of GC-MS analysis for *Satureja khuzistanica*, *Thymus transcaspicus*, *Mentha longifolia* and *Ziziphora clinopodioides* essential oils
The main ingredients in the essential oil are highlighted in bold.

<i>Satureja khuzistanica</i> components					
RI	ءركبب Compound	ءرصد Percentage	RI	ءركبب Compound	ءرصد Percentage
924	tricyclene	t	1635	γ -eudesmol Caryophylla-4(12),8(13)-dien-5 β -ol	0.2
930	a-thujene	0.3	1642	ol	0.1
937	a-pinene	1.5	1643	hinseol	0.1
952	camphene	0.3	1650	agarospirol	0.1
964	benzaldehyde	t	1660	valerianol	0.1
966	5- Methyl furfural	t	1678	unknown	0.3
980	B-pinene	0.3	1686	α -bisabolol	0.5
983	1-octen-3ol	0.1	1700	heptadecane	t
992	myrcene	2.5	1762	Benzyl benzoate	t
995	3-octanol	0.1	1843d	Hexahydrofarnesyl acetone	0.3
1004	a-phellandrene	0.6	Total Identified 99.6%		
1011	δ -3-carene	0.2			
1018	a-terpinene	2.7			
1028	p-cymene	9.1			
1032	β - phellandrene	1.0			
1033	1,8-cineol	0.2			
1041	Cis-ocimene	t			
1052	trans- ocimene	0.1			
1061	γ-terpinene	5.4			
1072	cis-sabinene hydrate	0.2			
1073	n-octanol	0.1			
1089	terpinolene	0.5			
1091	ρ -cymenene	0.8			
1099	trans-sabinene hydrate	0.1			
1103	linalool	1.7			
1169	borneol	0.1			
1179	terpinen-4-ol	0.8			
1246	carvacrol methyl ether	1.1			
1302	carvacrol	49.4			
1362	eugenol	1.2			
1375	carvacrol acetate	1.6			
1476	Methyl- ρ -anisate	t			
1422	β -caryophyllene	2.2			
1438	α -trans-bergamotene	0.4			
1456	α - humulene	0.1			
1456	Geranyl acetone	0.7			
1484	γ -curcumene	0.1			
1483	α - curcumene	0.2			
1507	β -bisabolene	9.3			
1525	β -sesquiphellandrene 2(4H)-Benzofuranone,5,6,7,7a-tetrahydro	0.2			
1538	4,4,7a-trimethyl-	0.1			
1534	trans- γ -bisabolene	1.6			
1558	elemicin	t			
1585	Caryophyllene oxide	1.0			
1614	unknown	t			

<i>Thymus transcaspicus</i> components					
RI	ترکیب Compound	درصد Percentage	RI	ترکیب Compound	درصد Percentage
926	tricyclene	t2	1498	viridiflorene	0.2
931	α -thujene	1.2	1502	α -muurolene	t
939	α -pinene	1.2	1508	β -bisabolene	0.4
951	unknown	t	1516	γ -cadinene	0.1
954	camphene	0.8	1524	δ -cadinene	0.2
963	benzaldehyde	t	1533	trans- γ -bisabolene	0.9
980	β -pinene	0.3	1578	spathulenol	0.2
982	1-octen-3-ol	0.3	1584	caryophyllene oxide	0.2
985	3-octanone	0.3	Total Identified		99.6
993	myrcene	1.4			
996	3-octanol	0.1			
1005	α -phellandrene	0.3			
1012	δ -3-carene	0.1			
1019	α -terpinene	2.4			
1029	ρ -cymene	6.7			
1023	β -phellandrene	0.6			
1033	1,8-cineol	0.8			
1052	β -E-ocimene	0.1			
1061	γ-terpinene	8.0			
1072	cis-sabinene hydrate	0.7			
1090	terpinolene	0.3			
1099	trans-sabinene hydrate	0.1			
1098	linalool	0.2			
1124	trans- ρ -mentha-2,8-dien-1-ol	0.1			
1147	camphor	t			
1169	unknown	0.2			
1170	borneol	1.5			
1180	terpinen-4-ol	1.0			
1190	unknown	0.2			
1184	ρ -cymen-8-ol	0.1			
1189	α -terpineol	0.3			
1192	cis-dihydrocarvone	0.1			
1238	thymol methyl ether	1.5			
1243	carvacrol methyl ether	0.2			
1244	cumin aldehyde	t			
1246	pulegone	2.4			
1295	thymol	39.6			
1303	carvacrol	21.4			
1345	piperitenone	1.1			
1354	thymol acetate	0.3			
1362	eugenol	0.1			
1374	carvacrol acetate	0.2			
1389	β -bourbonene	t			
1422	β -caryophyllene	0.7			
1434	β -copaene	t			
1437	trans- α -bergamotene	t			
1440	aromadendrene	0.1			
1455	α -humulene	t			
1462	allo-aromadenderene	t			
1482	γ -muroloene	0.1			
1498	viridiflorene	0.2			

<i>Mentha longifolia</i> components			<i>Ziziphora clinopodioides</i> components		
RI	ترکیب Compound	درصد Percentage	RI	ترکیب Compound	درصد Percentage
0852	butanoic acid	1.6	926	α -Thujene	0.1
0880	ethyl-2-methylbutyrate	0.4	935	α -pinene	0.3
0918	γ -terpinene	0.5	970	sabinene	0.2
0936	α -pinene	5.5	976	β -pinene	0.6
0946	α -pipene	1.6	981	myrcene	0.2
0976	sabinene	7.5	1013	α -Terpinene	tr
0980	β -pinene	3.5	1015	ρ -Cymene	0.3
0991	β -myrcene	0.3	1026	1,8-Cineole	2.7
	oxygenated monoterpenes				
1033	1,8-cineole	8.5	1053	γ -terpinene	0.2
1050	β -ocimene	t	1064	terpinolene	0.5
1062	thymol	0.2	1082	Trans-Sabinene hydrate	0.1
1072	ρ-mentha-3,8-diene	7.2	1085	Linalool	tr
1088	α -terpinolene	1.36	1111	cis-verbenol	0.1
1092	butanoic acid,2-methyl,3-methyl butyl ester	0.7	1124	Trans-verbenol	0.1
1110	pentanoic acid,3-methylbutyl ester	0.5	1140	p-menth-3-en-8-ol	12.5
1124	3-octanol acetate	0.4	1152	Menthone	1.8
1143	2,6-dimethyl-2,4,6-oc tatriene	6.5	1160	Neomenthol	2.1
1150	Cis-dihydrocarvone	10.6	1166	Menthol	0.1
1154	3-methylene-1,5,5-trimethylcyclohexene	t2	1171	Terpinen-4-ol	0.4
1168	isopulegone	4.5	1182	Isomenthol	1.6
1180	benihinal	0.3	1186	Verbenone	0.2
1188	benzofuran,4,7-dimethyl	0.6	1202	Cuminyal aldehyde	0.8
1193	myrtenal	t	1225	Pulegone	45.8
1237	pulegone	5.5	1234	Piperitone	1.4
1244	piperitone	13.3	1246	Carvone	0.1
1252	Piperitone oxide	0.3	1268	Thymol	8
1268	cyclopentane,1,2-dimethyl-3-(1-methylethenyl)	t2	1280	Isomenthyl acetate	0.5
1285	borneol,acetate	0.5	1287	Eucarvone	0.2
1290	cyclohexanone,3-vinyl-3-methyl	2.2	1320	Piperitenone	17.4
1398	2,3-dimethylhydroquinone	1.1	1391	β -Bourbonene	0.1
1312	4-hydroxy-3-methylacetophenone	0.4	1484	Germacrene D	1.1
1354	pulespenone	6.4		Total Identified	95.4
1380	β -elemene	0.5			
1382	durohydroquinone	0.2			
1385	β -caryophyllene	2.2			
1390	β -cubebene	0.4			
1454	α -humulene	0.2			
1468	(+)-epi-bicyclosesquiphellandrene	0.3			
1482	germacrene-D	1.5			
1524	γ -cadinene	0.2			
	Total Identified	97.46			

آنالیز ترکیبات شیمیایی اسانس

اسانس مرزه خوزستانی غنی از کارواکرول (۴۹/۴٪) می‌باشد و سایر ترکیبات اصلی آن بتا- بیسابولن (۹/۳٪)، پی- سیمن (۹/۱٪) و

گاما- ترپینن (۵/۴٪) مشخص شد. در اسانس آویشن خراسانی تیمول (۳۹/۶٪) به‌عنوان جزء عمده تعیین گردید و کارواکرول (۲۱/۴٪) و گاما- ترپینن (۸٪) جزء سایر ترکیبات اصلی بودند. پپیریتون (۱۳/۳٪)، سیس- دی هیدرو کارون (۱۰/۶٪)، ۱ و ۸- سینثول (۸/۵٪)

نتیجه‌گیری

ترکیبات گیاهی مورد آزمون در غلظت زیر-بازدارندگی، پتانسیل قابل قبولی در مهار عوامل پر آزاری بیمارگر در آزمون‌های درون شیشه نشان دادند. با توجه به روند رو به گسترش استقبال عمومی کاربران از ترکیبات طبیعی کنترلی در حوزه بیماری‌های گیاهی، به‌نظر می‌رسد برنامه‌ریزی در راستای چگونگی بکارگیری از فرآورده‌های گیاهی در جهت کاهش مصرف سموم قابل بررسی و نیازمند آزمایشات تکمیلی می‌باشد. در ارتباط با بیماری‌های مستقر در باغ مانند شانکر باکتریایی، به‌منظور کاهش گسترش علائم بیماری و افزایش طول عمر درخت می‌توان از مواد مؤثره اصلی (مونوتیرین‌های اکسیژنی) اسانس‌های گیاهان مرزه خوزستانی و آویشن خراسانی به عنوان ساختار شیمیایی الگو در جهت سنتز مواد ضد میکروبی با استفاده از تخصص افراد در حیطه شیمی و داروسازی بهره گرفت. بررسی پایداری و حفظ ویژگی‌های ضد میکروبی مواد سنتز شده در شرایط آزمایشگاهی و باغی پیشنهاد می‌گردد.

سپاسگزاری

نگارندگان از دانشگاه فردوسی مشهد به خاطر حمایت مالی این پروژه با کد ۳/۵۱۶۷۱ قدردانی می‌نمایند.

غالب‌ترین ترکیبات اسانس پونه بودند و پی-متا-۳ و ۸-دیئن (۷/۲٪)، پولسینون (۶/۴٪) و آلفا-پین (۵/۵٪) نیز در مقادیر کمتری یافت شدند. در اسانس کاکوتی نیز ترکیبات غالب پولگون (۴۲/۷٪)، پیریتون (۱۶/۴٪)، پی-متا-۳-ان-۸-ال (۱۲/۵٪) و تیمول (۸٪) تعیین گردیدند. به‌طور کلی مونوتیرین‌های اکسیژنه به‌عنوان ترکیبات اصلی تشکیل‌دهنده اسانس‌های مورد مطالعه تشخیص داده شدند (جدول ۳).

در پژوهش حاضر، تیمول، کارواکرول و گاما-ترپین به‌عنوان سه جزء اصلی و فعال اسانس آویشن خراسانی تشخیص داده شدند که در مطالعات ابراهیمی و همکاران (Ebrahimi et al., 2008) نیز به‌عنوان ترکیبات اصلی اسانس آویشن خراسانی گزارش شده است. کارواکرول نیز به‌عنوان ترکیب اصلی اسانس مرزه خوزستانی در مطالعات فرزانه و همکاران (Farzaneh et al., 2015) و حاجیان ملکی (Hajian-Maleki et al., 2019) گزارش شده است. سیس-دی‌هیدروکارون و پیریتون به‌عنوان مهم‌ترین ترکیبات اسانس پونه در این پژوهش و مطالعات پیشین (Golparvar et al., 2015) تشخیص داده شد. همچنین مطابق با مطالعات پیشین (Amiri, 2009) پولگون و پیریتون و پی-متا-۳-ان-۸-ال به‌عنوان سه ترکیب غالب در اسانس کاکوتی تشخیص داده شد. به‌نظر می‌رسد بالاترین مقادیر ترکیبات موجود در اسانس‌ها، دارای قدرت ضد باکتریایی بالاتری می‌باشند.

References

- Adams, R.P. (2007). Identification of essential oil components by gas chromatography/mass spectrometry (Vol. 456, pp. 544-545). Carol Stream: Allured publishing corporation.
- Agrios, G.N. (2005). *Plant Pathology* Academic Press. San Diego, USA.
- Alymanesh, MR., & Mirzaei, H. (2013). *Using some essential oils in the control of bacterial canker disease of stone fruit*. Proceeding of the second National Congress on Medicinal Plants. 15-16 May, Tehran, Iran, 1135.
- Amiri, H. (2009). Influence of growth phase on the essential oil composition of *Ziziphora clinopodioides* Lam. *Natural product research*, 23(7), 601-606. <https://doi.org/10.1080/14786410802113995>
- Bahar, M., Mojtahedi, A., & Akhiani, A. (1985). Bacterial Canker Apricot trees in Esfahan. Iran. *Plant Patho*, 18, 58-68.
- Bassole, I.H.N., Lamien-Meda, A., Bayala, B.O.L.C., Obame, L.C., Ilboudo, A.J., Franz, C., & Dicko, M.H. (2011). Chemical composition and antimicrobial activity of *Cymbopogon citratus* and *Cymbopogon giganteus* essential oils alone and in combination. *Phytomedicine*, 18(12), 1070-1074. <https://doi.org/10.1016/j.phymed.2011.05.009>
- Bender, C.L., & Scholz-Schroeder, B.K. (2004). New insights into the biosynthesis, mode of action, and regulation of syringomycin, syringopeptin, and coronatine. In *Virulence and gene regulation* (pp. 125-158). Springer, Boston, MA.
- Bultreys, A., & Kaluzna, M. (2010). Bacterial cankers caused by *Pseudomonas syringae* on stone fruit species with special emphasis on the pathovars *syringae* and *morsprunorum* race 1 and race 2. *Journal of Plant Pathology*, S21-S33.
- Carezzano, M.E., Sotelo, J.P., Primo, E., Reinoso, E.B., Paletti Rovey, M.F., Demo, M.S., & Oliva, M.D.L.M. (2017). Inhibitory effect of *Thymus vulgaris* and *Origanum vulgare* essential oils on virulence factors of phytopathogenic *Pseudomonas syringae* strains. *Plant Biology*, 19(4), 599-607. <https://doi.org/10.1111/plb.12572>
- Chouhan, S., Sharma, K., & Guleria, S. (2017). Antimicrobial activity of some essential oils—present status and future perspectives. *Medicines*, 4(3), 58. <https://doi.org/10.3390/medicines4030058>
- Clinical and Laboratory Standards Institute. (2018). Performance standards for antimicrobial disk susceptibility

- tests; approved standard—12th ed. M02-A13. Clinical and Laboratory Standards Institute, Wayne, PA. <https://clsi.org>
12. Ebrahimi, S.N., Hadian, J., Mirjalili, M.H., Sonboli, A., & Yousefzadi, M. (2008). Essential oil composition and antibacterial activity of *Thymus caramanicus* at different phenological stages. *Food Chemistry*, 110(4), 927-931. <https://doi.org/10.1016/j.foodchem.2008.02.083>
 13. Farhadfar, S., Keshavarzi, M., Bouzari, N., Moghadam, L., & Soleimani, A. (2016). Susceptibility of cherries to bacterial canker (*Pseudomonas syringae* pv. *syringae*) in field and laboratory. *International Journal of Agriculture and Forestry*, 6(1), 20-7. <https://doi.org/10.5923/j.ijaf.20160601.04>
 14. Farzaneh, M., Kiani, H., Sharifi, R., Reisi, M., & Hadian, J. (2015). Chemical composition and antifungal effects of three species of *Satureja* (*S. hortensis*, *S. spicigera*, and *S. khuzistanica*) essential oils on the main pathogens of strawberry fruit. *Postharvest Biology and Technology*, 109, 145-151. <https://doi.org/10.1016/j.postharvbio.2015.06.014>
 15. Gasic, K., Prokic, A., Ivanovic, M., Kuzmanovic, N., & Obradovic, A. (2012). Differentiation of *Pseudomonas syringae* pathovars originating from stone fruits. *Pesticidi i fitomedicina*, 27(3), 219-229. <https://doi.org/10.2298/PIF1203219G>
 16. Golparvar, A.R., Hadipanah, A., & Mehrabi, A.M. (2015). Diversity in Chemical composition from two ecotypes of (*Mentha longifolia* L.) and (*Mentha spicata* L.) in Iran climatic conditions. *Journal of Biodiversity and Environmental Sciences*, 6(4), 26-33.
 17. Hajian-Maleki, H., Baghaee-Ravari, S., & Moghaddam, M. (2019). Efficiency of essential oils against *Pectobacterium carotovorum* subsp. *carotovorum* causing potato soft rot and their possible application as coatings in storage. *Postharvest Biology and Technology*, 156, 110928. <https://doi.org/10.1016/j.postharvbio.2019.06.002>
 18. Hwang, M.S., Morgan, R.L., Sarkar, S.F., Wang, P.W., & Guttman, D.S. (2005). Phylogenetic characterization of virulence and resistance phenotypes of *Pseudomonas syringae*. *Applied and Environmental Microbiology*, 71(9), 5182-5191. <https://doi.org/10.1128/AEM.71.9.5182-5191.2005>
 19. Ichinose, Y., Taguchi, F., & Mukaihara, T. (2013). Pathogenicity and virulence factors of *Pseudomonas syringae*. *Journal of General Plant Pathology*, 79(5), 285-296. <https://doi.org/10.1007/s10327-013-0452-8>
 20. Jaymand, K., & Rezaee, M. (2007). Essential oil, Distillations Apparatuses, test Method of essential oil and Retention Indices in Essential oil Analysis. *Iranian Society of Medicinal Plants. Tehran*, 12, 106-108.
 21. Kavanaugh, N.L., & Ribbeck, K. (2012). Selected antimicrobial essential oils eradicate *Pseudomonas* spp. and *Staphylococcus aureus* biofilms. *Applied and Environmental Microbiology*, 78(11), 4057-4061. <https://doi.org/10.1128/AEM.07499-11>
 22. Kennelly, M.M., Cazorla, F.M., de Vicente, A., Ramos, C., & Sundin, G.W. (2007). *Pseudomonas syringae* diseases of fruit trees: progress toward understanding and control. *Plant Disease*, 91(1), 4-17. <https://doi.org/10.1094/PD-91-0004>
 23. Khodaygan, P., Sedaghati, A., Hosseinipour, A., & Baghaee-Ravari, S. (2012). Study on canker disease of stone fruits and antibacterial effects of some essential oils on its causal agent in Kerman province. *Iranian Journal of Plant Pathology*, 48(3), 303-317.
 24. López Belchi, M.D., Cantó-Tejero, M., & Pascual-Villalobos, M.J. (2021). New insights into Biopesticides: Solid and liquid formulations of essential oils and derivatives. *Frontiers in Agronomy*, 3, 763530. <https://doi.org/10.3389/fagro.2021.763530>
 25. Matas, I.M., Lamberts, L., Rodríguez-Moreno, L., & Ramos, C. (2012). Identification of novel virulence genes and metabolic pathways required for full fitness of *Pseudomonas savastanoi* pv. *savastanoi* in olive (*Olea europaea*) knots. *New Phytologist*, 196(4), 1182-1196. <https://doi.org/10.1111/j.1469-8137.2012.04357.x>
 26. Myszk, K., Schmidt, M.T., Majcher, M., Juzwa, W., Olkiewicz, M., & Czaczyk, K. (2016). Inhibition of quorum sensing-related biofilm of *Pseudomonas fluorescens* KM121 by *Thymus vulgare* essential oil and its major bioactive compounds. *International Biodeterioration & Biodegradation*, 114, 252-259. <https://doi.org/10.1016/j.ibiod.2016.07.006>
 27. Oliva, M.D.L.M., Carezzano, M.E., Giuliano, M., Daghero, J., Zygadlo, J., Bogino, P., & Demo, M. (2015). Antimicrobial activity of essential oils of *Thymus vulgaris* and *Origanum vulgare* on phytopathogenic strains isolated from soybean. *Plant Biology*, 17(3), 758-765. <https://doi.org/10.1111/plb.12282>
 28. O'May, C., & Tufenkji, N. (2011). The swarming motility of *Pseudomonas aeruginosa* is blocked by cranberry proanthocyanidins and other tannin-containing materials. *Applied and Environmental Microbiology*, 77(9), 3061-3067. <https://doi.org/10.1128/AEM.02677-10>
 29. Pavela, R., & Benelli, G. (2016). Essential oils as ecofriendly biopesticides? Challenges and constraints. *Trends in Plant Science*, 21(12), 1000-1007. <https://doi.org/10.1016/j.tplants.2016.10.005>
 30. Ramezani, A., Azadi, M., Mostowfizadeh-Ghalefarsa, R., & Saharkhiz, M.J. (2016). Effect of *Zataria multiflora* Boiss and *Thymus vulgaris* L. essential oils on black rot of 'Washington Navel' orange fruit. *Postharvest Biology and Technology*, 112, 152-158. <https://doi.org/10.1016/j.postharvbio.2015.10.011>
 31. Rasoolzadegan, Y. (1997). *Temperate Zone Fruits*. Esfahan University pub. 759 pp.

32. Romero, C.M., Vivacqua, C.G., Abdulhamid, M.B., Baigori, M.D., Slanis, A.C., Allori, M.C.G.D., & Tereschuk, M. . (2016). Biofilm inhibition activity of traditional medicinal plants from Northwestern Argentina against native pathogen and environmental microorganisms. *Revista da Sociedade Brasileira de Medicina Tropical*, 49, 703-712. <https://doi.org/10.1590/0037-8682-0452-2016>
33. Santos, C.A., Almeida, F.A., Quecán, B.X., Pereira, P.A., Gandra, K., Cunha, L.R., & Pinto, U.M. (2020). Bioactive properties of *Syzygium cumini* (L.) skeels pulp and seed phenolic extracts. *Frontiers in Microbiology*, 11, 990. <https://doi.org/10.3389/fmicb.2020.00990>
34. Shabani, B., Rezaei, R., Charehgani, H., & Salehi, A. (2019). Study on antibacterial effect of essential oils of six plant species against *Pseudomonas syringae* pv. *syringae* Van Hall 1902 and *Pseudomonas fluorescens* Migula 1894. *Journal of Plant Pathology*, 101(3), 671-675. <https://doi.org/10.1007/s42161-019-00266-x>
35. Singh, A., Gupta, R., Tandon, S., & Pandey, R. (2017). *Thyme* oil reduces biofilm formation and impairs virulence of *Xanthomonas oryzae*. *Frontiers in Microbiology*, 8, 1074. <https://doi.org/10.3389/fmicb.2017.01074>
36. Spotts, R.A., Wallis, K.M., Serdani, M., & Azarenko, A.N. (2010). Bacterial canker of sweet cherry in Oregon- Infection of horticultural and natural wounds, and resistance of cultivar and rootstock combinations. *Plant Disease*, 94(3), 345-350. <https://doi.org/10.1094/PDIS-94-3-0345>